

# LANCÉ

Servicio Clima Espacial

# Reporte Semanal



**ISES**  
International Space  
Environment Service

**AEM**  
AGENCIA ESPACIAL MEXICANA



**CENAPRED**  
CENTRO NACIONAL DE  
PREVENCIÓN DE DESASTRES

# Reporte semanal: del 28 de junio al 04 de julio de 2019

## **CONDICIONES DEL SOL**

Regiones activas: 0

Hoyos coronales: 3.

Fulguraciones solares: 0.

Eyecciones de masa coronal: 1.

## **CONDICIONES DEL MEDIO INTERPLANETARIO**

Se registró una región de compresión.

## **CONDICIONES DE MAGNETÓSFERA**

Índice K local: no se registraron perturbaciones significativas.

Índice Dst: no se registraron perturbaciones significativas.

## **CONDICIONES DE LA IONOSFERA**

No se registraron perturbaciones significativas.

# Reporte semanal: del 28 de junio al 04 de julio de 2018

## PRONÓSTICOS

### Viento solar:

Se pronostican las velocidades entre 300 y 500 km/s. Habrá un incremento en la densidad del plasma el día 8 de julio. No se pronostica la llegada de ninguna EMC.

### Fulguraciones solares:

Baja probabilidad de fulguraciones.

### Tormentas geomagnéticas:

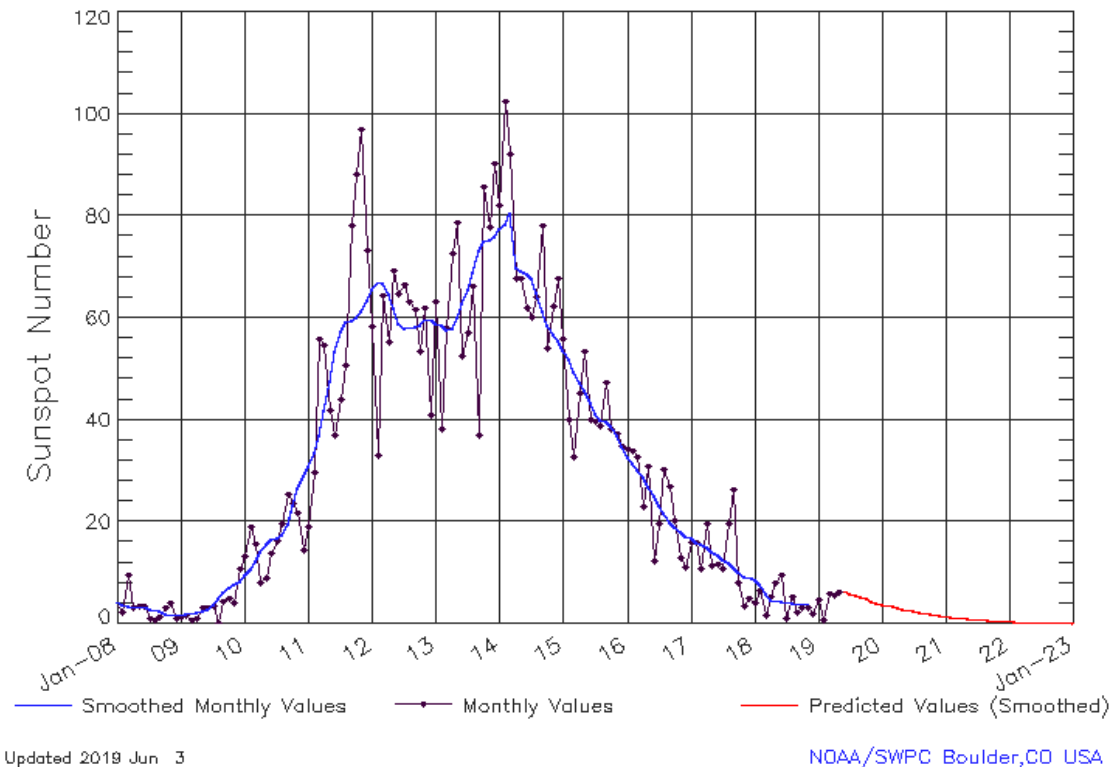
Es probable la ocurrencia de perturbaciones geomagnéticas ligeras.

### Tormentas de radiación solar:

Baja probabilidad de tormentas.

# Ciclo de manchas solares y la actividad solar

ISES Solar Cycle Sunspot Number Progression  
Observed data through May 2019

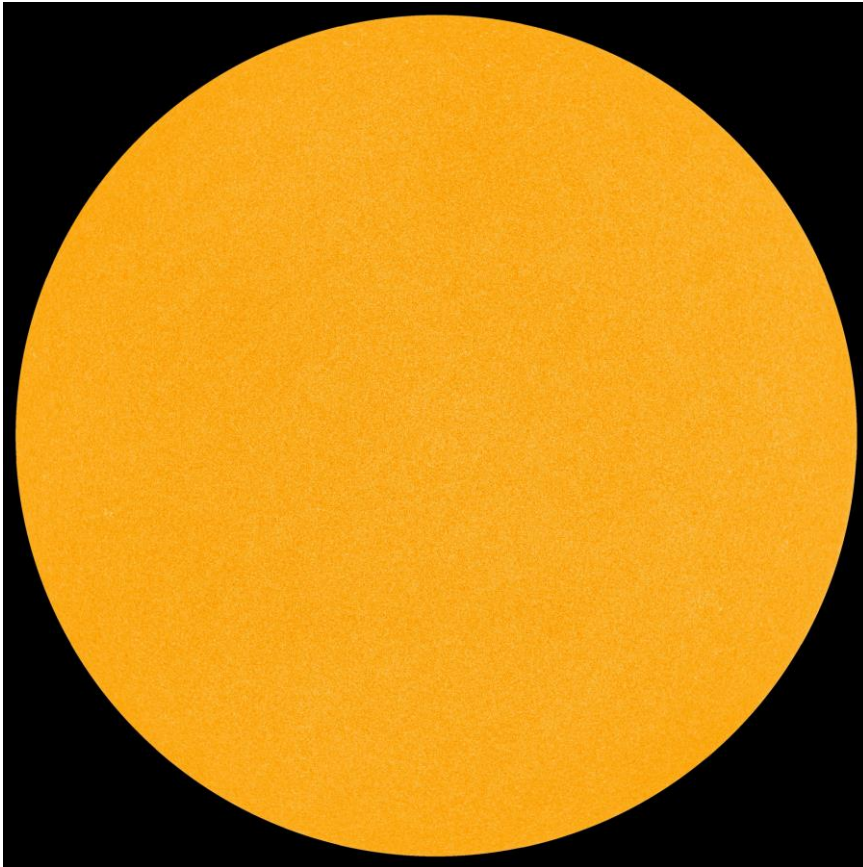


La figura muestra el conteo del número de manchas solares desde enero del 2008.

Entre más manchas solares presente el Sol, es mayor la posibilidad de que ocurra una tormenta solar.

Estamos acercándonos al mínimo de manchas solares del ciclo 24.

<http://www.swpc.noaa.gov/products/solar-cycle-progression>



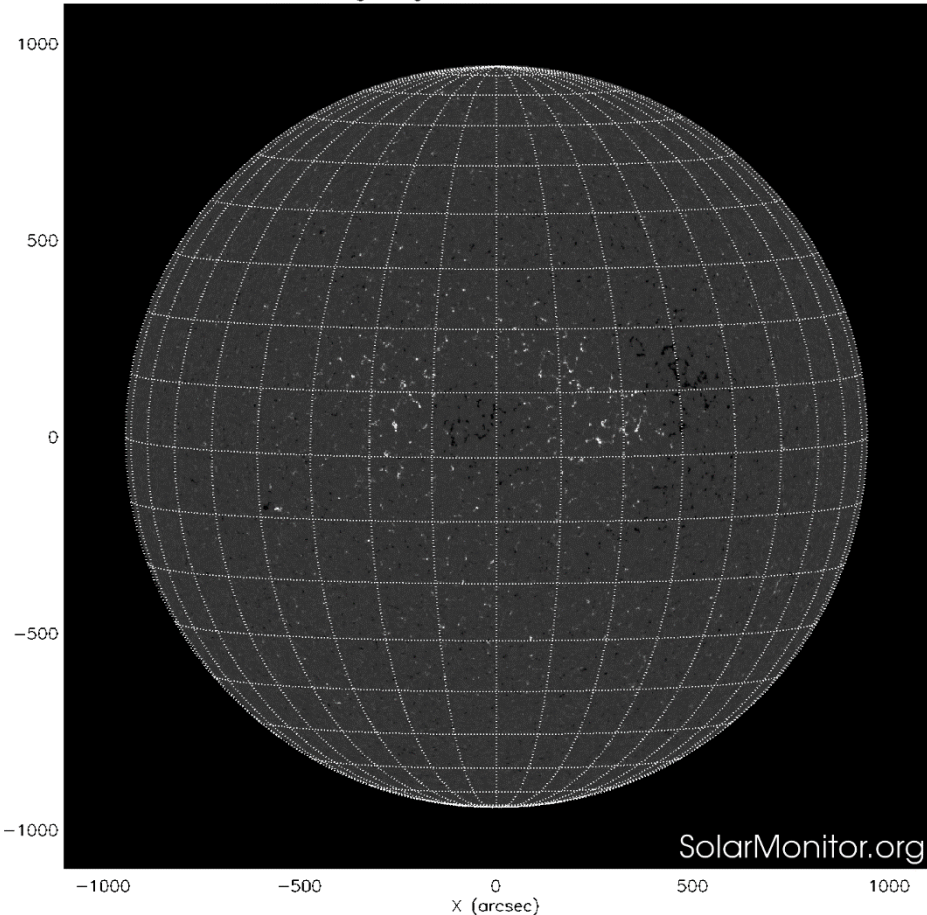
La fotosfera es la zona “superficial” del Sol, donde aparecen las manchas solares. Regiones oscuras formadas por material más frío que sus alrededores y que contienen intensos campos magnéticos. Las manchas solares están relacionadas con la actividad solar.

El Sol hoy:

La imagen más reciente de la fotosfera, tomada por el satélite artificial SDO, muestra que no se observan manchas solares.

<https://www.spaceweather.com/>

SDO HMI Magnetogram 5-Jul-2019 02:58:46.400



Un magnetograma solar permite identificar las regiones de intensos campos magnéticos solares. En general, estos campos magnéticos están asociados a manchas solares.

Las regiones de color blanco (negro) son zonas por donde salen (entran) líneas de campo magnético, correspondientes a polaridad positiva (negativa).

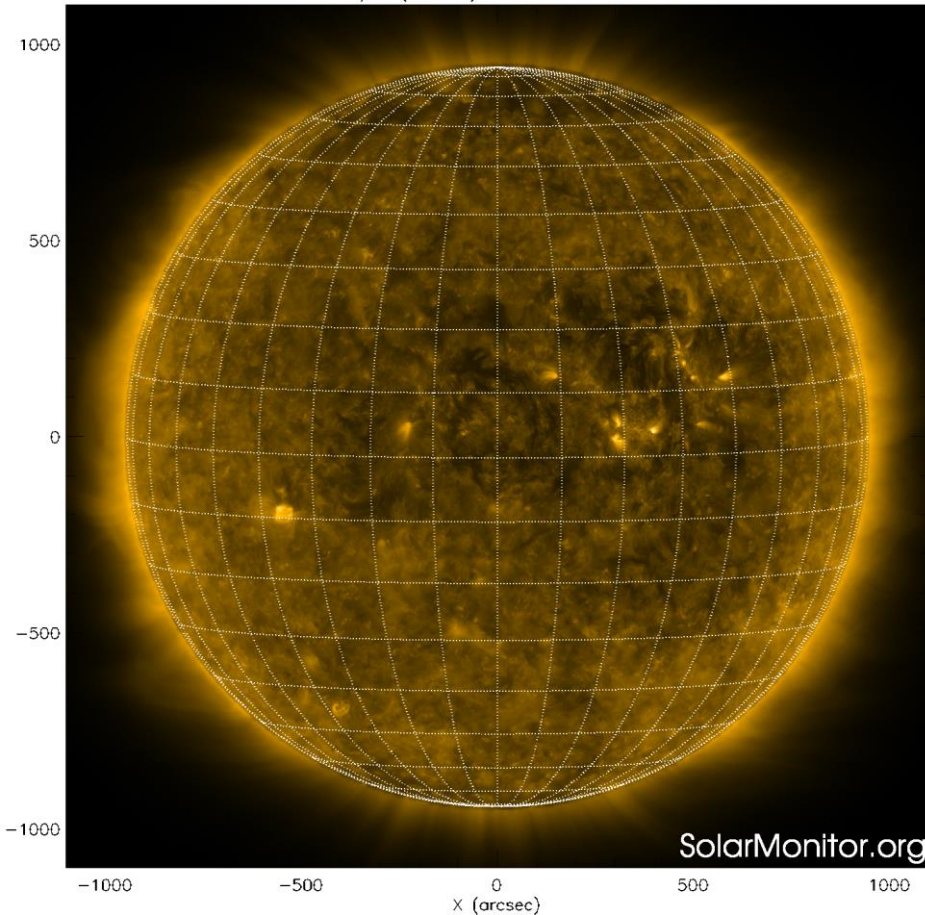
El Sol hoy:

El magnetograma más reciente.

<https://solarmonitor.org>

# Atmósfera solar y regiones activas

SDO AIA Fe IX/X (171 Å) 5-Jul-2019 07:24:45.350



<https://solarmonitor.org>

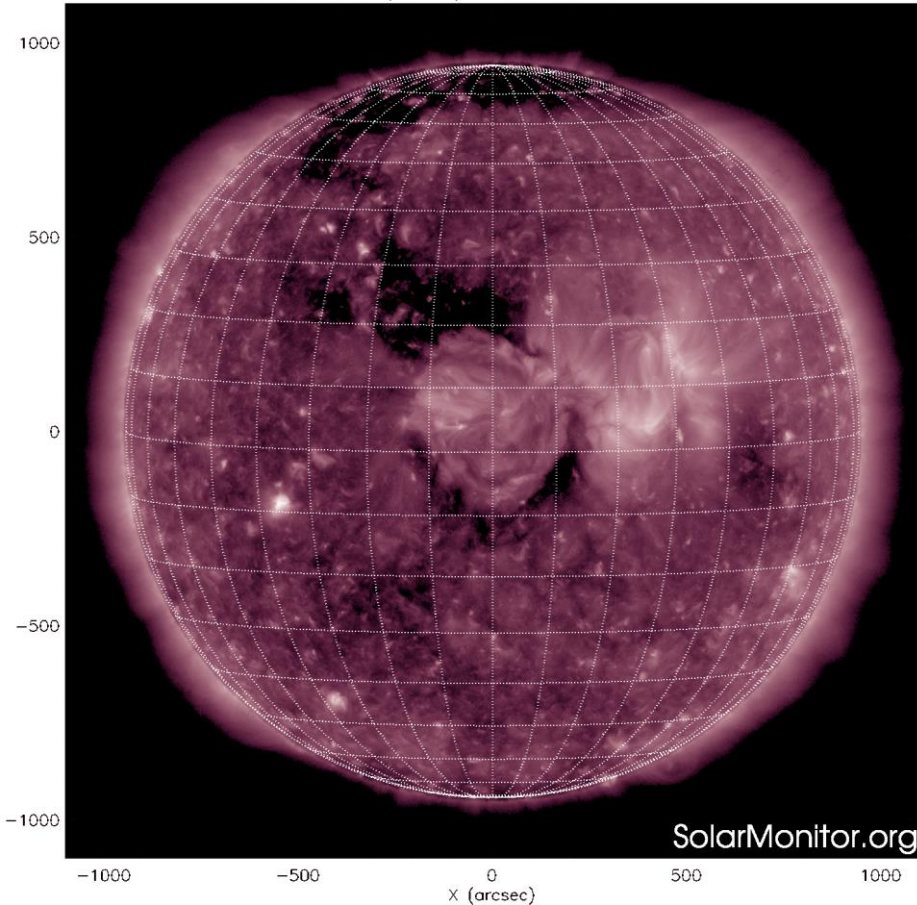
El Sol en rayos X suaves (171 Å). La emisión de Fe IX y X revela la estructura magnética en la región de la atmósfera solar llamada corona solar que se encuentra a 630,000 K.

Las regiones activas (zonas claras) son los lugares donde se presentan los fenómenos de actividad solar más importantes. Las regiones activas están regularmente asociadas a las manchas solares.

El Sol hoy:

Imagen más reciente, tomada por el satélite artificial SDO.

SDO AIA Fe XII (211 Å) 5-Jul-2019 07:24:57.630



El Sol en rayos X suaves (211 Å). La emisión de Fe XIV revela la estructura magnética en la alta corona que se encuentra a 2,000,000 K.

Los hoyos coronales (regiones oscuras) son regiones de campo magnético solar localmente abierto. Los hoyos coronales son fuente de las corrientes de viento solar rápido.

El Sol hoy:

Imagen más reciente, tomada por el satélite artificial SDO, muestra tres hoyos coronales: uno cerca del polo norte, uno en el centro del hemisferio norte y otro por desaparecer en la zona ecuatorial.

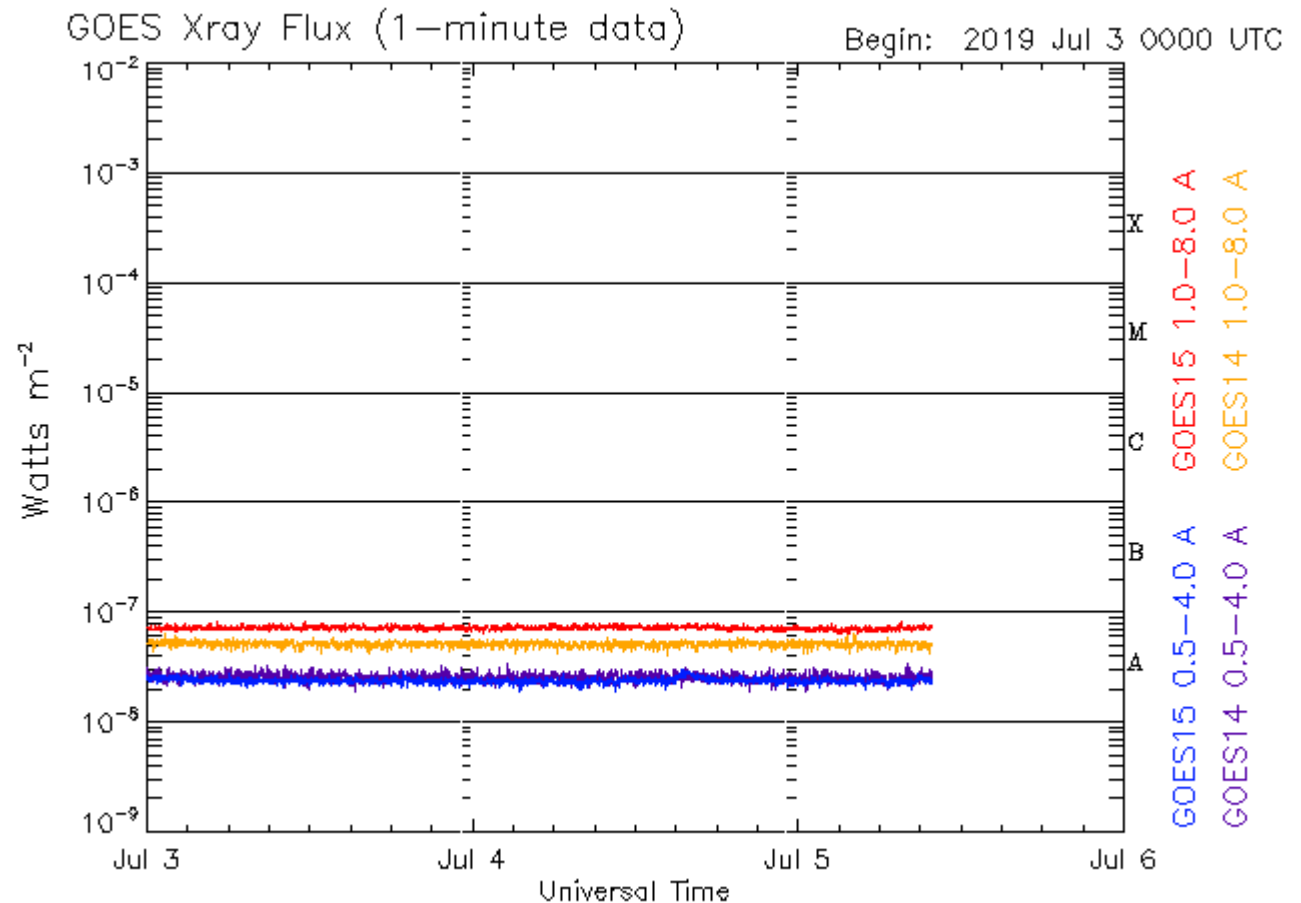
<https://solarmonitor.org>

# Actividad solar: Fulguraciones solares

Flujo de rayos X solares detectado por los satélites GOES.

La imagen muestra los datos tomados por el satélite GOES durante los últimos días.

No se presentaron fulguraciones solares significativas durante la semana.



Updated 2019 Jul 5 09:51:12 UTC

NOAA/SWPC Boulder, CO USA

Imagen: <http://services.swpc.noaa.gov/images/goes-xray-flux.gif>

# Medio interplanetario: El viento solar cercano a la Tierra

## Modelo numérico WSA-ENLIL.

El modelo pronostica un ambiente terrestre dominado por corrientes de viento solar promedio con velocidades entre 300 y 500 km/s. Habrá un incremento en la densidad del plasma el día 8 de julio. No se pronostica la llegada de ninguna EMC.

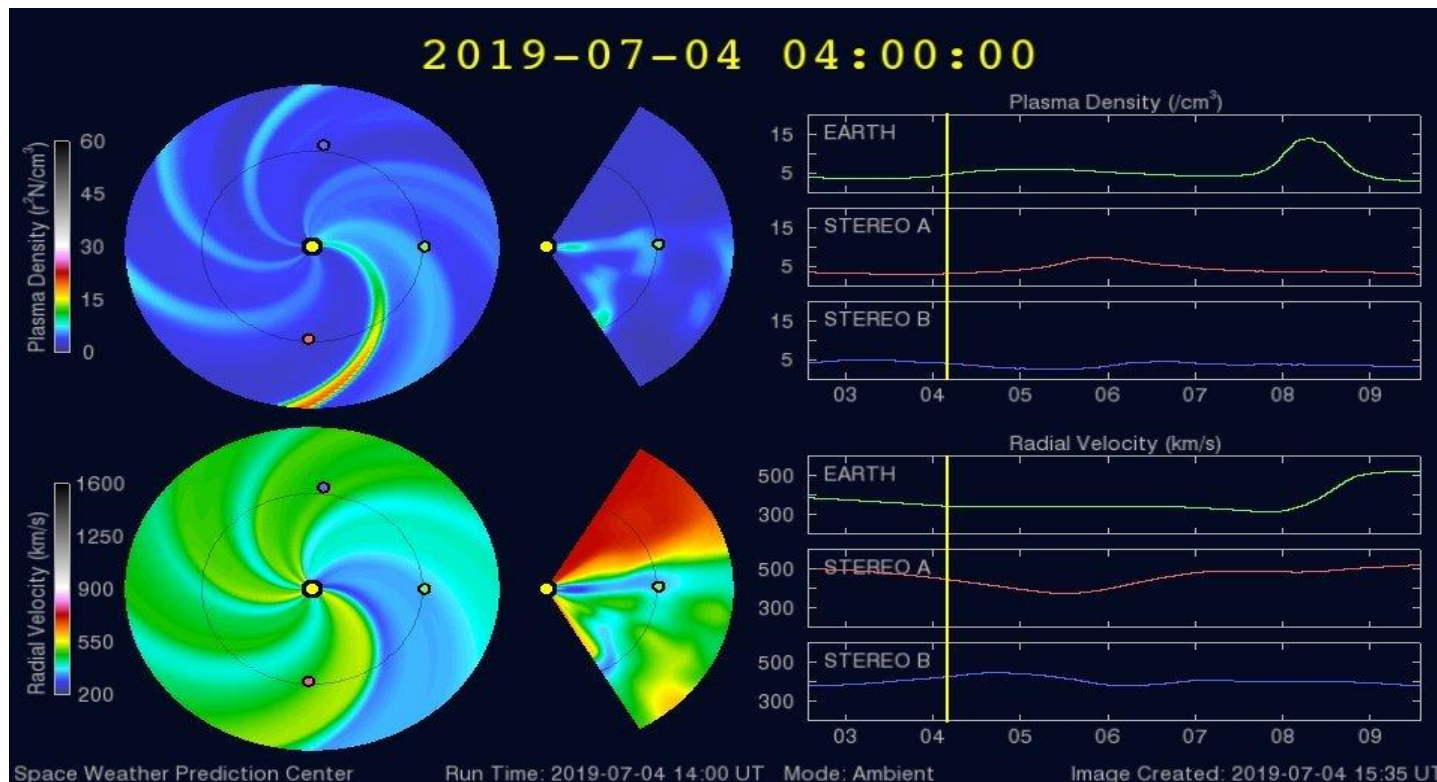
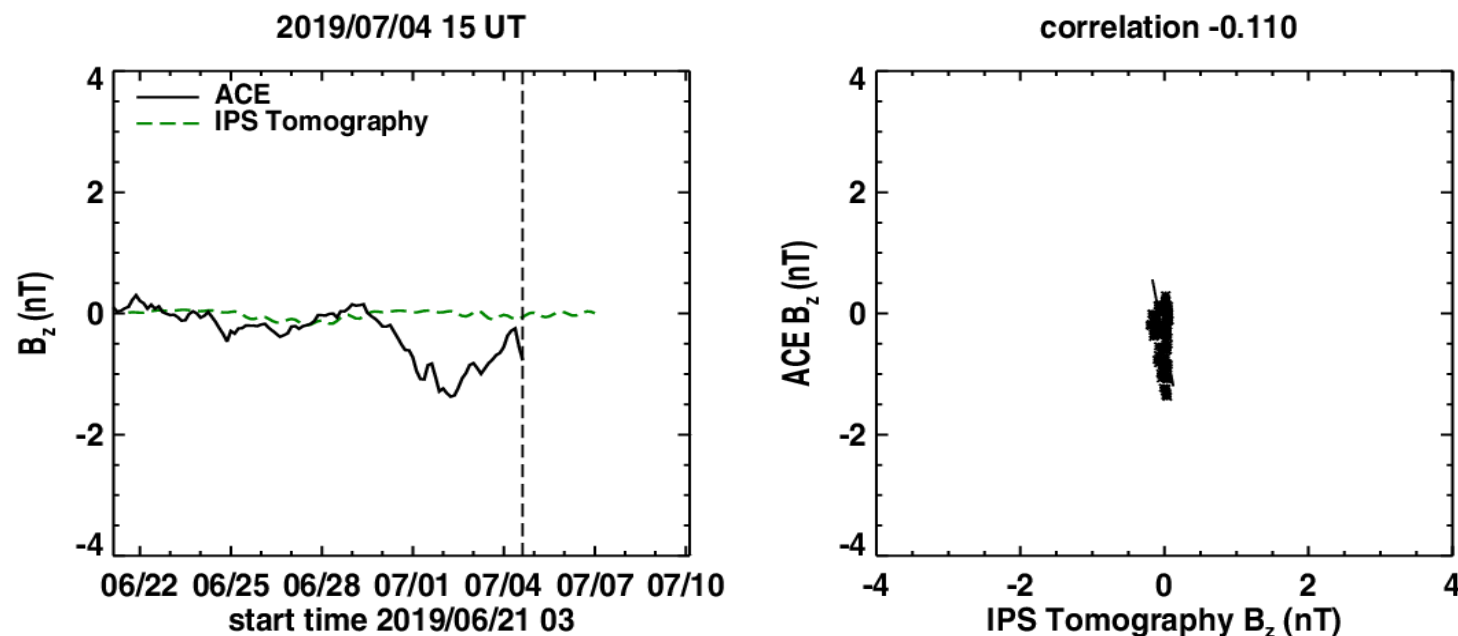


Imagen: <http://www.swpc.noaa.gov/products/wsa-enlil-solar-wind-prediction>

# Medio interplanetario: El viento solar cercano a la Tierra

**Pronóstico de la componente  $B_z$  del viento solar cercano a la Tierra usando la tomografía con datos IPS**



**(Izquierda)** Se pronostica una componente  $B_z$  cercana a cero. **(Derecha)** La comparación con las observaciones del Advanced Composition Explorer (ACE) no indican una correlación en el último pronóstico.

Imagen: [http://ips.ucsd.edu/high\\_resolution\\_predictions](http://ips.ucsd.edu/high_resolution_predictions)

# Eyecciones de Masa Coronal (EMCs): **LANC**

## *observación de coronógrafos*

Servicio Clima Espacial

>> **Junio 30, 7:48 h**

- EMC lenta y colimada observada por SOHO/LASCO
- No se esperan efectos severos en el entorno geomagnético.

Velocidad	218 km/s
Posición angular	80°
Ancho angular	6°

(\*)Valores estimados sobre la proyección en el plano del cielo y no en la dirección Sol-Tierra

### **Relevancia**

\*Eventos eruptivos solares de gran escala que eyectan plasma y campo magnético hacia el medio interplanetario (IP).

\*Las EMCs están relacionadas con las tormentas geomagnéticas de mayor intensidad y son capaces de impulsar ondas de choque y acelerar partículas en el medio IP.



Crédito imágenes y valores estimados:  
SOHO, the Solar & Heliospheric Observatory

SDO, Solar Dynamic Observatory

CACTus CME catalog. SIDC at the Royal Observatory of Belgium

Jhelioviewer, ESA/NASA Helioviewer Project

# Medio interplanetario: Región de interacción de viento solar

Del 28 de junio al 4 de julio no se registró región de interacción (imagen 2). Actualmente observamos tres hoyos coronales a latitudes bajas (imagen 1) los cuales pueden generar perturbaciones geomagnéticas en los próximos días.

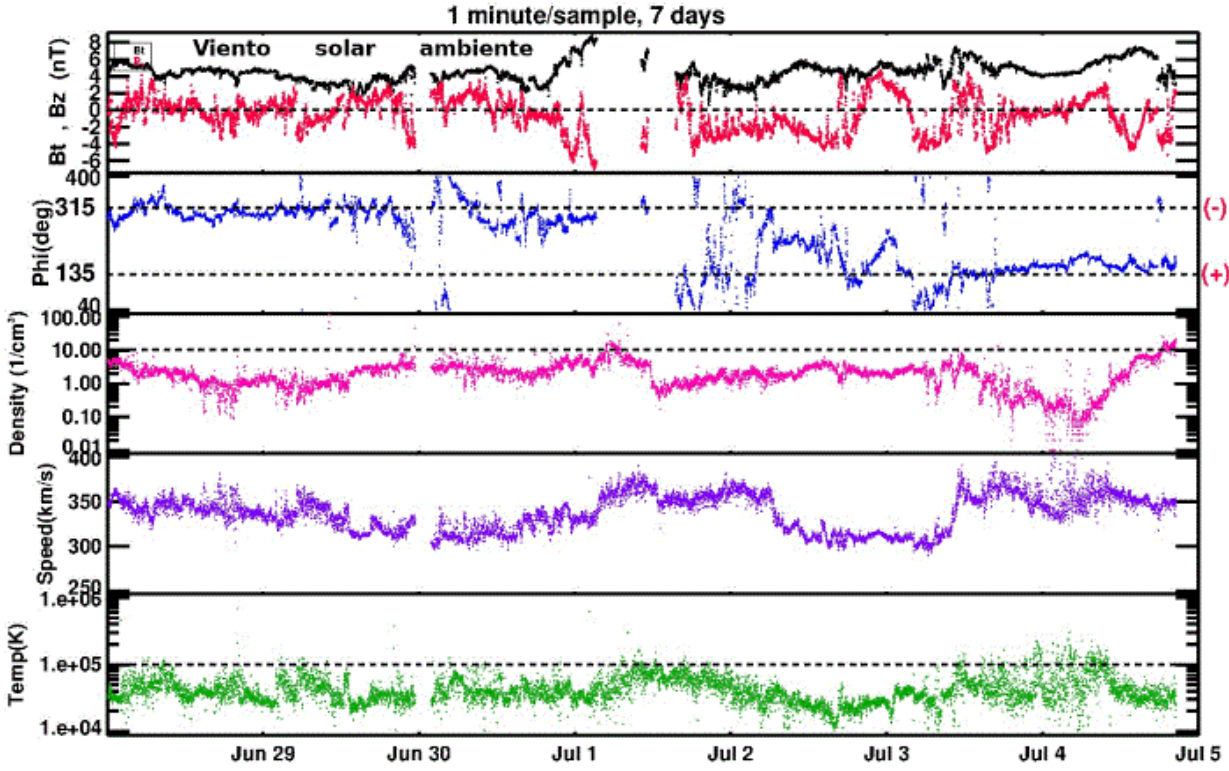
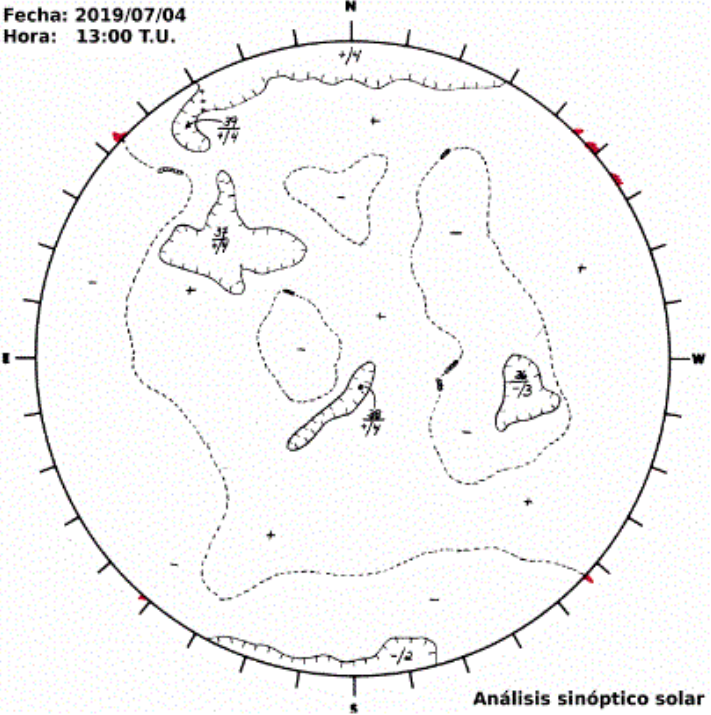


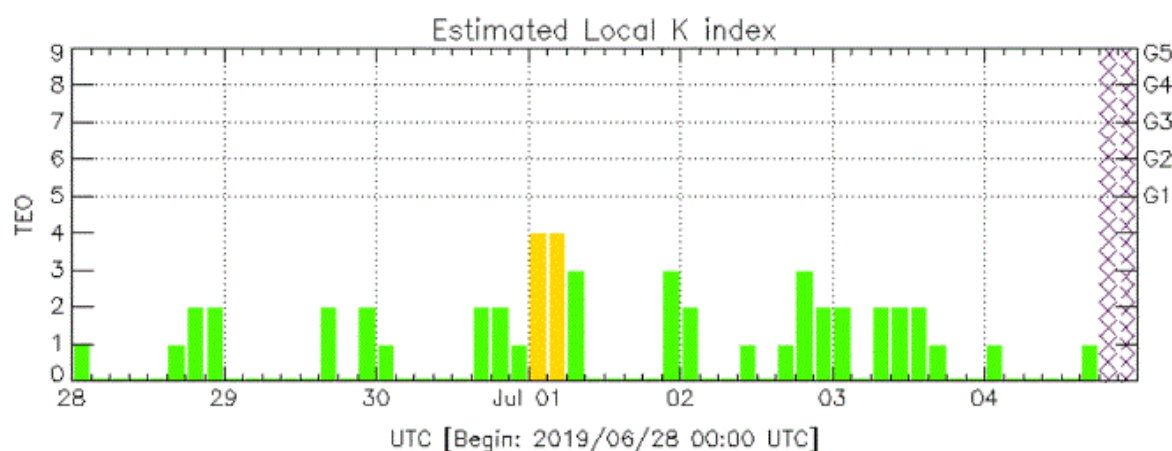
Imagen 1: [ftp://ftp.swpc.noaa.gov/pub/synoptic\\_maps/](ftp://ftp.swpc.noaa.gov/pub/synoptic_maps/)

Imagen 2: <http://www.swpc.noaa.gov/products/real-time-solar-wind>

# Perturbaciones geomagnéticas: Índices geomagnéticos Kp y Kmex

Imagen: <http://services.swpc.noaa.gov/images/planetary-k-index.gif>

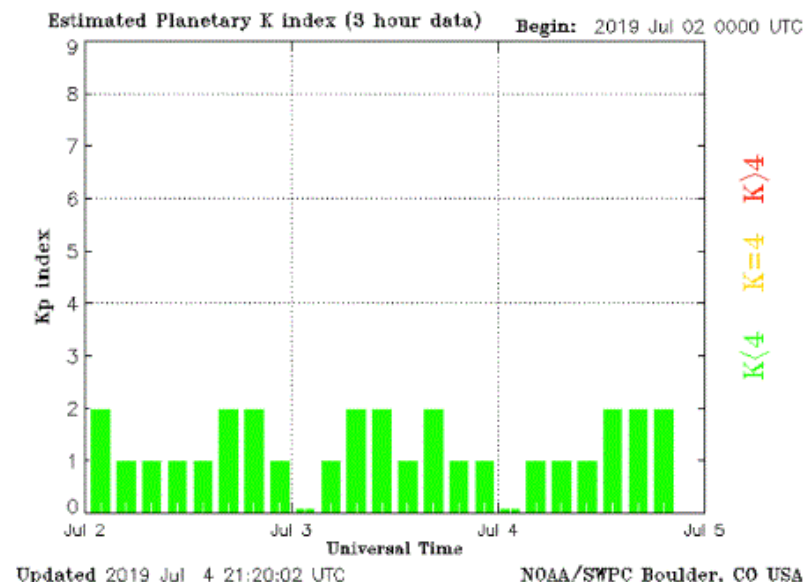
Fue una semana quieta, no se registraron alteraciones significativas en los índices Kp y Kmex.



TEO: Teoloyucan Geomagnetic Observatory (LAT 19.746, LON -99.193)

LANC/SCIESMEX - Morelia, Mich., MX

Updated: 2019/07/04-21:00 UTC



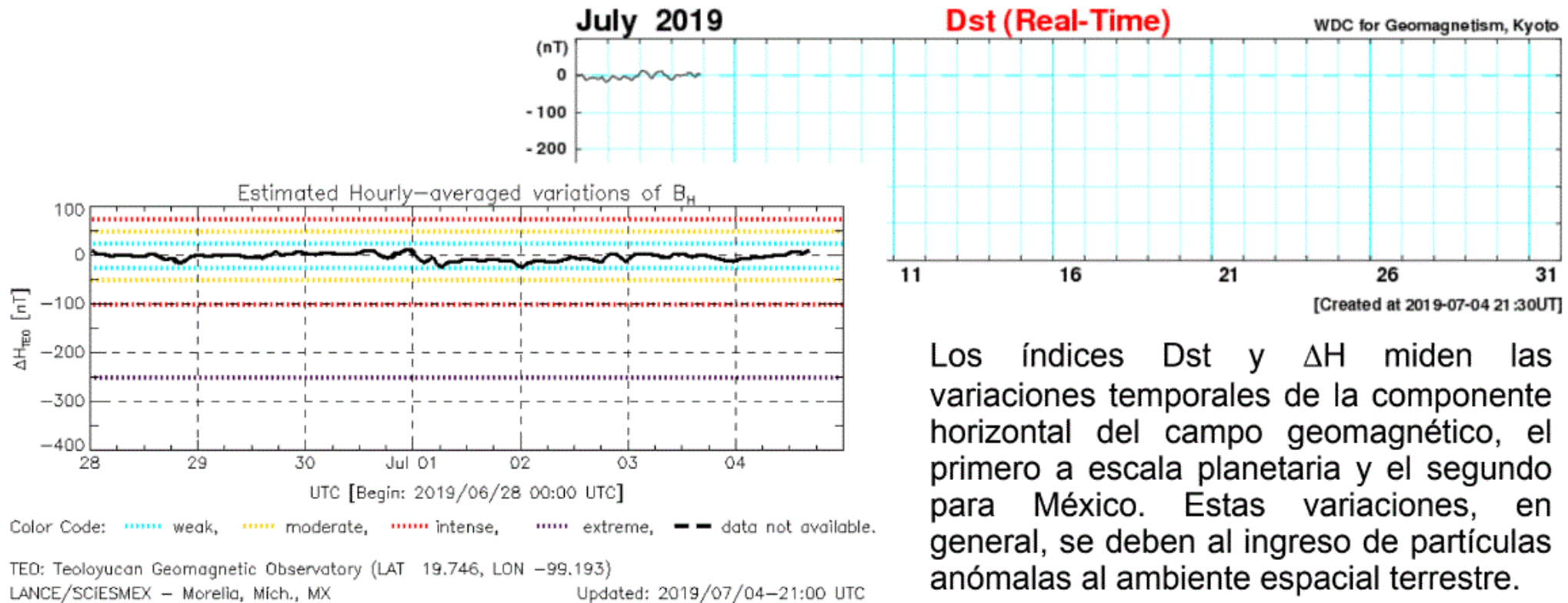
El índice K indica la intensidad de las variaciones del campo magnético terrestre en intervalos de 3 horas. El índice Kp lo expresa a escala planetaria, mientras que el Kmex lo hace para el territorio mexicano.

# Perturbaciones geomagnéticas: Índice Dst y $\Delta H$

En términos generales, fue una semana quieta.

No se registraron perturbaciones significativas en los índices Dst y  $\Delta H$ .

Imagen: [http://wdc.kugi.kyoto-u.ac.jp/dst\\_realtime/presentmonth/index.html](http://wdc.kugi.kyoto-u.ac.jp/dst_realtime/presentmonth/index.html)



Los índices Dst y  $\Delta H$  miden las variaciones temporales de la componente horizontal del campo geomagnético, el primero a escala planetaria y el segundo para México. Estas variaciones, en general, se deben al ingreso de partículas anómalas al ambiente espacial terrestre.

# Ionósfera sobre México: TEC en el centro del país (datos locales)

El contenido total de electrones (TEC) es un parámetro que sirve para caracterizar el estado de la ionosfera de la Tierra.

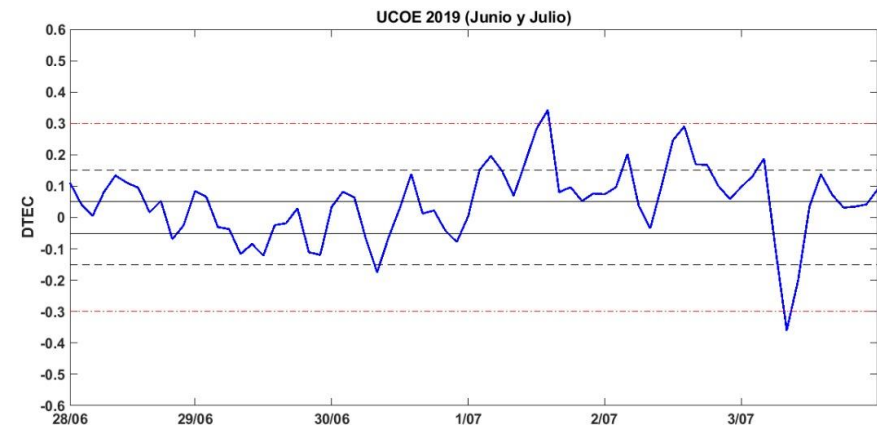
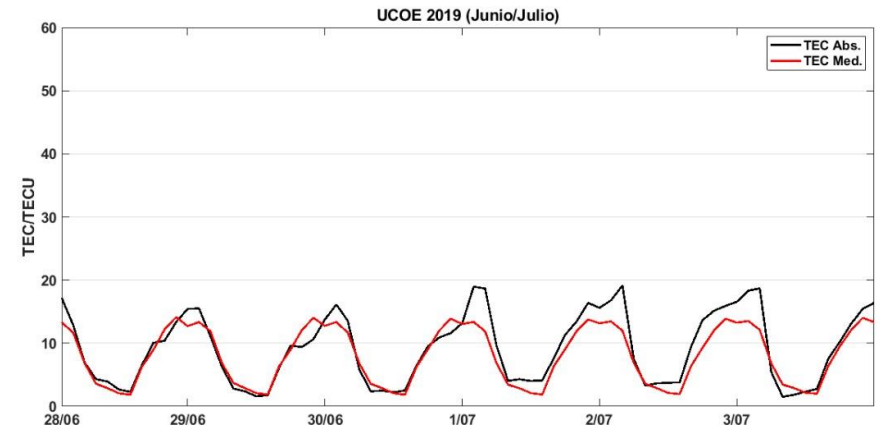
Serie temporal de los valores de TEC (negro) con referencia a su valor mediano (rojo) durante 28.06-03.07.2019 con base en los datos de la estación local UCOE (TLALOCNet, UNAVCO) en las instalaciones del Mexart.

Desviación de TEC de su mediana de los 27 días anteriores al día de observación con base en los datos de la misma estación.

Según los datos locales, se observaron los valores de TEC bajos en las hora nocturnas el 3 de julio.

El cálculo se realiza en base de TayAbsTEC software del Instituto de Física Solar-Terrestre, Sección Siberiana de la Academia de Ciencias de Rusia. Referencia: Yasyukevich et al., Influence of GPS/GLONASS Differential Code Biases on the Determination Accuracy of the Absolute Total Electron Content in the Ionosphere, Geomagn. and Aeron., ISSN 0016\_7932, 2015.

Referencia: Gulyaeva et al., GIM-TEC adaptive ionospheric weather assessment and forecast system. doi:10.1016/j.jastp.2013.06.011, 2013.



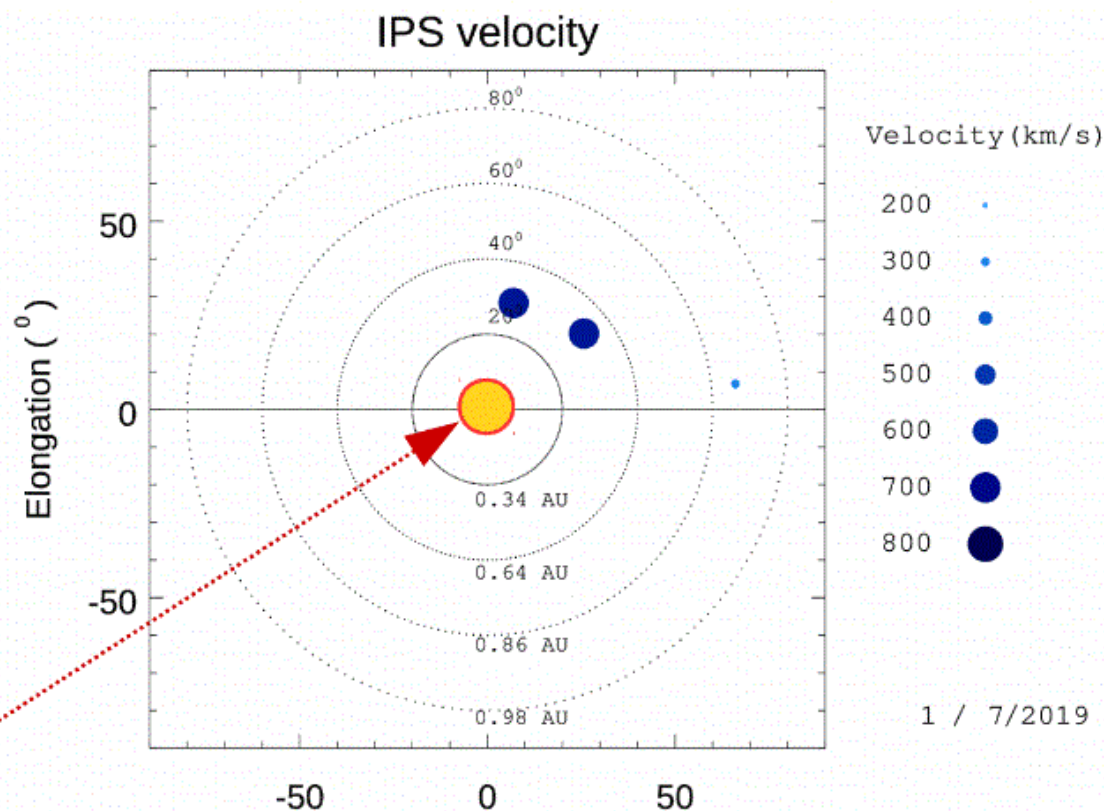
# Mediciones de viento solar con MEXART: Centelleo interplanetario

Velocidades de 785, 765, 750, 740 y 760 km/s los días 27, 28, 29, 30 de junio y 1 de julio en zona norte a 0.45 UA. De 740 km/s en zona noroeste a 0.5 UA. De 545, 620 y 320 km/s los días 27, 28 y 29 km/s oeste a 0.9 UA.

## Fuentes de centelleo interplanetario registradas por el MEXART

La imagen muestra círculos azules correspondientes a fuentes de radio, estos objetos son núcleos de galaxias activas actualmente observadas por MEXART.

En la ubicación aparente de los objetos encontramos la velocidad del viento solar.



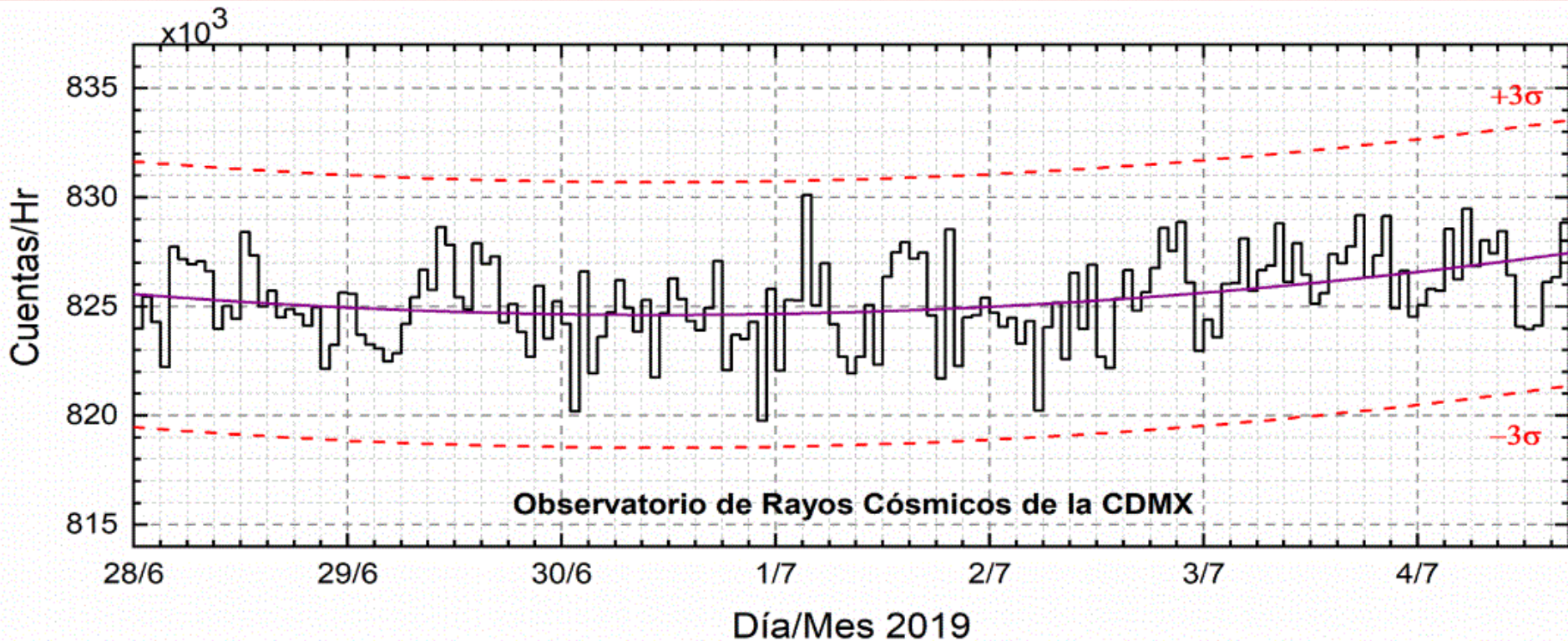
Sol visto por un observador en Tierra

[www.mexart.unam.mx](http://www.mexart.unam.mx)

[www.sciesmex.unam.mx](http://www.sciesmex.unam.mx)

04/07/2019

# Rayos Cósmicos:



<http://www.cosmicrays.unam.mx/>

Datos del Observatorio de Rayos Cósmicos de la Ciudad de México. La curva púrpura representa el promedio de los datos registrados, las líneas discontinuas rojas representan la significación de los datos ( $3\sigma$ ). Cuando se registran variaciones mayores a  $3\sigma$ , es probable que éstas sean debidas a efectos de emisiones solares en el flujo de rayos cósmicos.

Del 28 de junio al 04 de julio de 2019, no se detectaron incrementos significativos ( $>3\sigma$ ) en las cuentas de rayos cósmicos.

## UNAM/LANCE/SCiESMEX

Dr. J. Américo González Esparza

Dr. Pedro Corona Romero

Dra. Maria Sergeeva

Dr. Julio C. Mejía Ambriz

Dr. Luis Xavier González Méndez

Ing. Ernesto Andrade Mascote

M.C. Pablo Villanueva Hernández

Ing. Adán Espinosa Jiménez

Dr. Ernesto Aguilar-Rodríguez

Dra. Verónica Ontiveros

Dr. José Juan González-Aviles

Dra. Tania Oyuki Chang Martínez

Ing. Juan José D'Aquino

M.C. Enrique Cruz Martínez

## UNAM ENES-Morelia

Dr. Mario Rodríguez Martínez

Dr. Víctor De la Luz Rodríguez

Lic. Aranza Fernández Álvarez del Castillo

## UNAM/PCT

Lic. Elizandro Huipe Domratheva

Lic. Francisco Tapia

Lic. Víctor Hugo Méndez Bedolla

M.C. Elsa Sánchez García

## UANL/LANCE

Dr. Eduardo Pérez Tijerina

Dr. Enrique Pérez León

Dr. Carlos de Meneses Junior

Dra. Esmeralda Romero Hernández

## UNAM/IGF/RAYOS CÓSMICOS

Dr. José Francisco Valdés Galicia

Fis. Alejandro Hurtado Pizano

Ing. Octavio Musalem Clemente

## SERVICIO MAGNÉTICO

M.C. Esteban Hernández Quintero

M.C. Gerardo Cifuentes Nava

Dra. Ana Caccavari Garza

**Elaboración:** Equipo SCiESMEX

**Revisión:** Ernesto Aguilar Rodríguez

## Agradecimientos

El Laboratorio Nacional de Clima Espacial (LANCE) es parcialmente financiado por: el programa Cátedras CONACYT Proyecto 1045 y el Fondo Sectorial AEM-CONACYT proyecto 2014-01-247722. Agradecemos al proyecto Conacyt - Repositorio Institucional de Clima Espacial 268273. Agradecemos a todos los responsables y colaboradores de instrumentos del LANCE y a las redes de estaciones GPS del Servicio Sismológico Nacional y TalocNET por facilitar sus datos. Agradecemos a Gerardo Cifuentes, Esteban Hernández y Ana Caccavari por los datos del Observatorio magnético de Teoloyucan. De igual forma, agradecemos los servicios de IGS (International GNSS Service) por permitirnos usar los datos IONEX disponibles en: <ftp://cddis.gsfc.nasa.gov/pub/gps/products/ionex>. Los valores de TEC fueron obtenidos a partir de observaciones de las redes GPS del Servicio Sismológico Nacional (SSN), SSN-TLALOCNet y TLALOCNet del Servicio de Geodesia Satelital (SGS). Agradecemos al personal del SSN y del SGS por el mantenimiento de estaciones, la adquisición de datos y el soporte de IT de estas redes. Las operaciones de la red TLALOCNet y SSN-TLALOCNet GPS han sido apoyadas por The National Science Foundation bajo el proyecto EAR-1338091 a UNAVCO Inc., los proyectos CONACyT 253760 y 256012 y los proyectos UNAM-PAPIIT IN109315-3 y IN104818-3 de E. Cabral-Cano y el proyecto UNAM-PAPIIT IN111509 de R. Pérez. De igual forma agradecemos a los proyectos de infraestructura del CONACyT: 253691 y del PAPIIT-DGAPA: IA107116 para el fortalecimiento de equipos como la estación fija de GPS, que forman parte del LACIGE-UNAM, de la ENES unidad Morelia a cargo de M. Rodríguez-Martínez. El cálculo de TEC se realiza: 1) utilizando el software US-TEC que es un producto de operación del Space Weather Prediction Center (SWPC), desarrollado a través de una colaboración entre National Geodetic Survey, National Oceanic and Atmospheric Administration (NOAA) y el Cooperative Institute for Research in Environmental Sciences of the University of Boulder, Colorado, 2) con base en el software TayAbsTEC del Instituto de Física Solar-Terrestre, Sección Siberiana de la Academia de Ciencias Rusa. Parte del procesamiento de datos se lleva a cabo dentro del Centro de Supercómputo de Clima Espacial (CESCOM) del LANCE. Así mismo agradecemos al Space Weather Forecasting Center for Astrophysics & Space Research de la University of California in San Diego y al Korean Space Weather Center por los datos de pronóstico para los modelos WSA-ENLIL y los mapas tomográficos por IPS. Agradecemos a la red e-callisto por los datos proporcionados de espectros electromagnéticos dinámicos de la red internacional de registro de evento de radio solares.

## Datos

Imágenes de coronógrafo, flujo de rayos X y modelo WSA-ENLIL:

<http://www.swpc.noaa.gov/products>

<http://iswa.ccmc.gsfc.nasa.gov/IswaSystemWebApp/>

Imágenes de coronógrafo:

<http://sohowww.nascom.nasa.gov/data/>

Imágenes del disco solar y de la fulguración:

<http://www.solarmonitor.org/>

Detección y caracterización de EMCs:

<http://www.sidc.oma.be/cactus/out/latestCMEs.html>

<http://spaceweather.gmu.edu/seeds/>

ISES:

<http://www.spaceweather.org/>

International Network of Solar Radio Spectrometers (e-callisto):

<http://www.e-callisto.org/>

German Research Center For Geociencias Postdam:

<http://www.gfz-potsdam.de/en/sektion/erdmagnetfeld/daten-dienste/kp-index/>

Data Analysis Center for Geomagnetism and Space Magnetism,  
Kyoto University:

<http://wdc.kugi.kyoto-u.ac.jp/index.html>

UNAVCO:

<http://www.unavco.org>

SSN:

<http://www.sismologico.unam.mx/>

SOHO Spacecraft NASA:

<http://sohowww.nascom.nasa.gov/>

SDO Spacecraft NASA:

<http://sdo.gsfc.nasa.gov/>

Space Weather Prediction Center NOAA:

<http://www.swpc.noaa.gov>

GOES Spacecraft NOAA:

<http://www.ngdc.noaa.gov/stp/satellite/goes/index.html>

ACE Spacecraft NOAA

<http://www.srl.caltech.edu/ACE/ASC/index.html>